

西松建設（株） 正員 桑田俊男
 (株) 協和コンサルタンツ 正員 竹内則雄
 東京大学生産研究所 正員 川井忠彦

1. はじめに

川井により提案された離散化極限解析法 (RB-SM¹⁾) により、基礎的な数値実験から得られた NATM の支保効果とトンネル周辺地山の安定性との関係について報告する。

RB-SM を地下構造物の安定解析に応用した場合の有効性については前回報告した。³⁾ 今回は全面接着式ロックボルトや吹き付けコンクリートを梁要素としてトンネル掘削解析に導入し、簡単な数値実験の結果得られた、NATM 支保の効果と周辺地山の安定性の関係についての一考察を述べる。

2. 解析手法

RB-SM の総括的な理論については参考文献を参照されたい。ここでは、上記の梁要素の導入方法を、図 1 を用いて簡単に説明する。梁要素は、剛棒と「長さ 0 の剛棒（ピン）」との組み合せ材料として、平面剛体要素の間に挿み込まれる。剛棒と剛棒を接する平面要素との間に連続的に分布するバネ (k_n, k_s) で結ばれ、剛棒とピンとの間もバネ (k_n, k_s) で連結される。このようにすればロックボルトは地山と全面接着され、ロックボルトの断面力はバネ (k_n, k_s) により算出される。

3. 解析モデル

解析は平面ひずみ状態の弾塑性理論を用い、降伏条件はモール・クーロンの直線型包絡線を採用した。解析モデルは支保機能を明確にするため、単純なもの（図 2）とし、要素分割はラブセビッツの示す最大せん断線を意識して分割している（図 3）。材料定数は表 1 のとおりである。初期応力は静水圧状態で 20 t/m^2 とし、総ての自重は無視する。また、掘削は半径 5 m の円形を全断面掘削したものとする。

4. 解析例

解析例を、Case-1 無支保状態、Case-2 ロックボルト支保、Case-3 ロックボルト + 吹き付けコンクリート支保 の順に示す。

Case-1 無支保状態 ($C = 1.0 \text{ t/m}^2, \phi = 30^\circ$)

図 4 は無支保状態における近り崩壊線を示したものである。

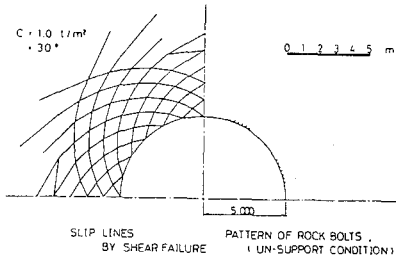


図 4 Case-1 近り線図

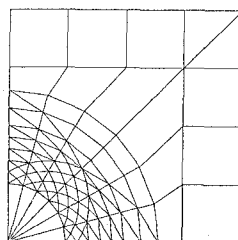


図 3 要素分割図

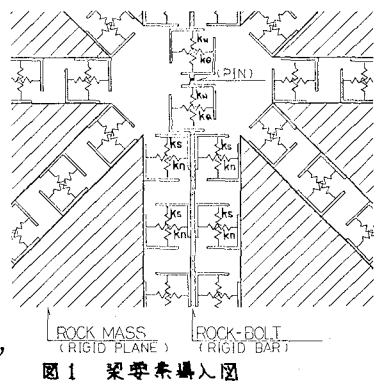


図 1 梁要素導入図

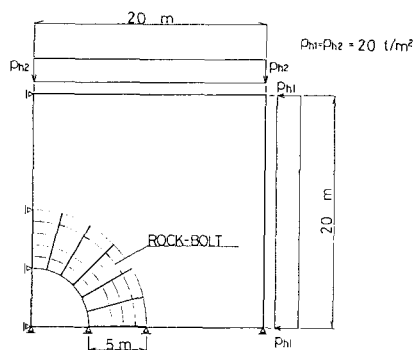


図 2 解析モデル図

表 1 材料定数

	ROCK MASS	ROCK-BOLT
Young's modulus	$E = 10^7 \text{ t/m}^2$	$E = 10^7 \text{ t/m}^2$
Poisson's ratio	$\nu = 0.2$	$\nu = 0.2$
Constitutive	$Mises$	$Mises$
Angle of internal friction	$\phi = 20, 30, 40^\circ$	$\phi = 20, 30, 40^\circ$
Section Area	$A = 249.036 \text{ m}^2$	$A = 249.036 \text{ m}^2$
Element of inertia	$I = 50^4 \text{ m}^4$	$I = 19 \times 10^4 \text{ m}^4$
Wind force	$F_w = 0$	$F_w = 20$

図中ABCで囲まれたつりがね型の辺り崩壊線は、ラブセビットの最大せん断力線網により形成されるものと合致し、山はね現象で観察される崩壊形状とよく似ている。

Case-2 ロックボルト支保

図5は、ロックボルト($l=2\sim 5m$)のみで支保した場合の、地山とロックボルトとの間に作用するせん断応力、ロックボルトに発生する軸力、壁面の押しだし量を示したものである。これより、地山安定のために必要なロックボルト長は $\vartheta = 20^\circ$ で4m, $\vartheta = 30^\circ$ で2mと推察される。図6は $\vartheta = 30^\circ$ 、ロックボルト長 $l=2m$ の場合の辺り線図である。図5の結果とあわせて考えると、図6は、ロックボルト打設により形成されたロックアーチを表わしていると考える。

Case-3 ロックボルト+吹き付けコンクリート支保

図7は $C=1.0 t/m^2$, $\vartheta = 20^\circ$, ロックボルト長 $l=3m$, 吹き付けコンクリート厚も10cmの場合について、吹き付けコンクリートの変形係数によるロックボルトと吹き付けコンクリートの荷重負担の関係と、壁面の押しだし量をグラフにしたものである。ここで、吹き付けコンクリートは降伏しないものとして計算している。これより、吹き付けコンクリートが未だ固まらないうちに均衡に達した場合、その時のロックボルトと吹き付けコンクリートの荷重分担の割合と壁面の押しだし量は、吹き付けコンクリートの剛性により大きく変化するが、剛性が $1.0 \times 10^3 kN/cm^2$ を越えた時点と均衡に達した場合には、吹き付けの剛性による影響は急減することがわかる。また、図8は吹き付けコンクリートの剛性が $1.4 \times 10^3 kN/cm^2$ の場合と $1.4 \times 10^4 kN/cm^2$ の場合の辺り線である。これより $1.4 \times 10^3 kN/cm^2$ 以下の剛性の場合には不安定にならかくことが予想される。

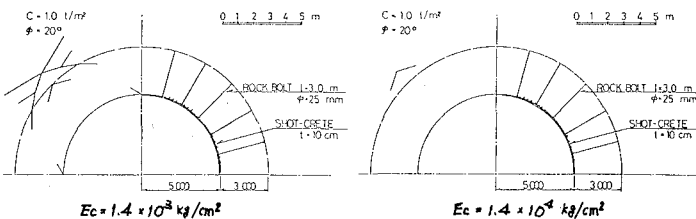


図8 吹き付けコンクリートの剛性と辺り線との関係

5. 考察

RBSMを用いて上記のようなケーススタディーを行なった結果、次の結論を得た。

(1) ロックボルトには、それぞれの地山に応じた最適長さがある。(2)平衡達成時の吹き付けコンクリートの剛性は、NATMのシステム支保として地山の安定を計る上に大きな要因となる。

今後、吹き付けコンクリートとロックボルトの支保荷重分担の割合に関する定量的な研究をする予定である。

参考文献 1)川井編：“生研セミナーテキスト（コース76）”生産技術奨励会（1982）

2)竹内・川井：“新離散化モデルによる地盤基礎の極限解析（その4）” 生産研究 32-10

3)森田・竹内・川井：“断層を含む斜面近傍のトンネル掘削解析” 第36回土木年譲 III (1981)

4)高橋・今田：“NATM(2)” トンネルと地下 12-2 (1981)

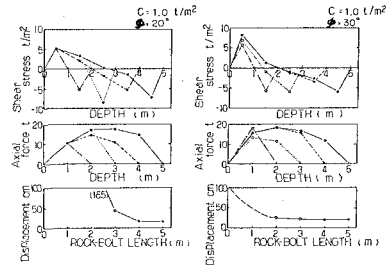


図5 支保効果グラフ

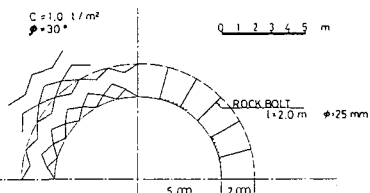


図6 辺り線で表現されたロックアーチ図

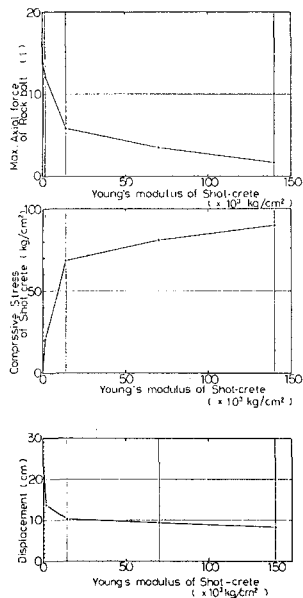


図7 支保分担グラフ